Информационные технологии

УДК 681.3:621.34

МОДЕЛИРОВАНИЕ Q-Н ХАРАКТЕРИСТИК ЭЛЕКТРОПРИВОДА С ВИХРЕВЫМ ЭЛЕКТРОНАСОСОМ

MODELING OF Q-H CHARACTERISTICS OF THE ELECTRIC DRIVE WITH A VORTEX ELECTRICAL PUMP

А. М. Сагдатуллин

A. M. Sagdatullin

Альметьевский государственный нефтяной институт, г. Альметьевск

Ключевые слова: моделирование; Q-H характеристики; электропривод; вихревой электронасос; оптимальный диапазон работы

Key words: modeling; Q-H characteristics; electric drive; pump with peripheral impeller; optimum operating range

Актуальность данной работы заключается в том, что на систему сбора, транспорта и подготовки нефти и газа приходится наиболее значительная доля капитальных вло-

130 Нефть и газ

'){3, 2015

жений. Следовательно, исследование режимов работы насосных станций с автоматизированными электроприводами является важной задачей, позволяющей определить наиболее оптимальные расходные характеристики работы оборудования и уменьшить затраты и эксплуатационные расходы при обустройстве месторождений и вводе в действие новых месторождений [1, 2].

Цель данной работы — моделирование Q-H характеристик электропривода с вихревым электронасосом. Объект исследования — вихревой электронасос Pk 200 мощностью 1,5 кВт.

Вихревой электронасос Рк 200 (рис. 1) представляет собой устройство, включающее в себя: I — корпус насоса; 2 — крышку двигателя; 3 — рабочее колесо; 4 — ведущий вал; 5 — механическое уплотнение; 6 — подшипники; 7 — конденсатор; 8 — электродвигатель. РКт — однофазный 230 В — 50 Гц с тепловой защитой, встроенной в обмотку. РК — трехфазный 230/400 В — 50 Гц.

К характеристикам насосов относят зависимости главных параметров работы насоса от расхода Q при определенных частотах вращения n его вала, а также диаметрах рабочего колеса D. Одной из основных характеристик насоса является зависимость его давления (напора) от расхода (подачи), выражаемая следующим уравнением:

$$H = f(Q). (1)$$

Данная характеристика (1) называется расходно-напорной или именуется Q-H характеристикой и может принимать пологую или крутую формы, быть монотонно снижающейся (устойчивой) или неустойчивой-возрастающей, а затем снижающейся.

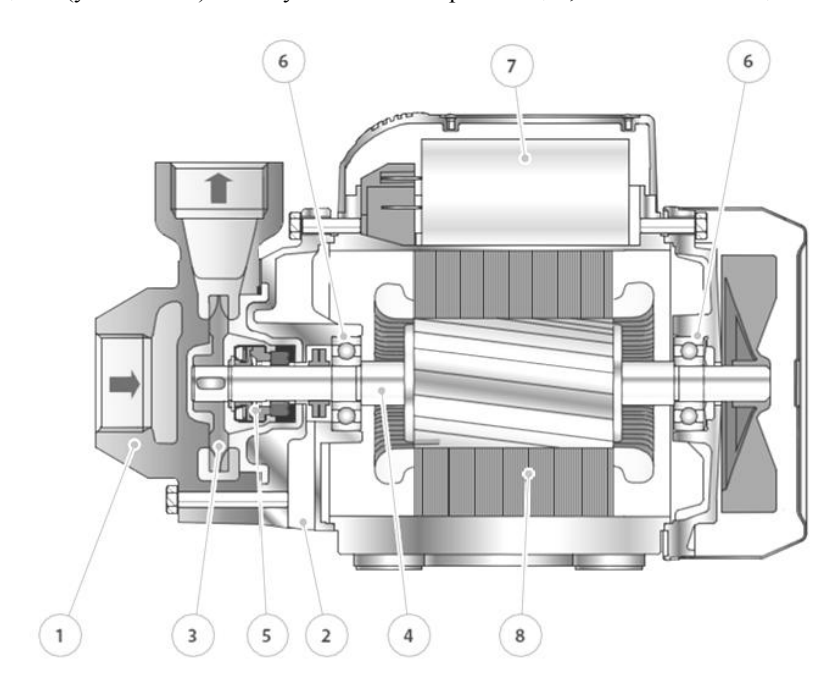


Рис. 1. Рассматриваемый вихревой электронасос Рк 200

Рабочие параметры насосов могут изменяться в относительно широких пределах. Увеличение подачи ведет к снижению напора, снижение расхода, напротив, приводит к увеличению напора насоса. Квадратичная характеристика H=f(Q) в оптимальных пределах может быть описана следующим выражением для рабочего участка [3–5]:

$$H_{\text{Hac}} = H_{\phi} + S_{\phi} Q_{\text{Hac}}^2, \qquad (2)$$

где H_{ϕ} — фиктивный напор при нулевой подаче, м; S_{ϕ} — гидравлическое фиктивное сопротивление насоса, c^2/M^5 .

Параметры S_{ϕ} и H_{ϕ} могут быть определены по каталожным или экспериментальным характеристикам насоса. Для их определения по экспериментальным характеристикам насоса возьмем координаты двух точек рабочей части характеристики H = f(Q), например, точек 1 и 2 (рис. 2).

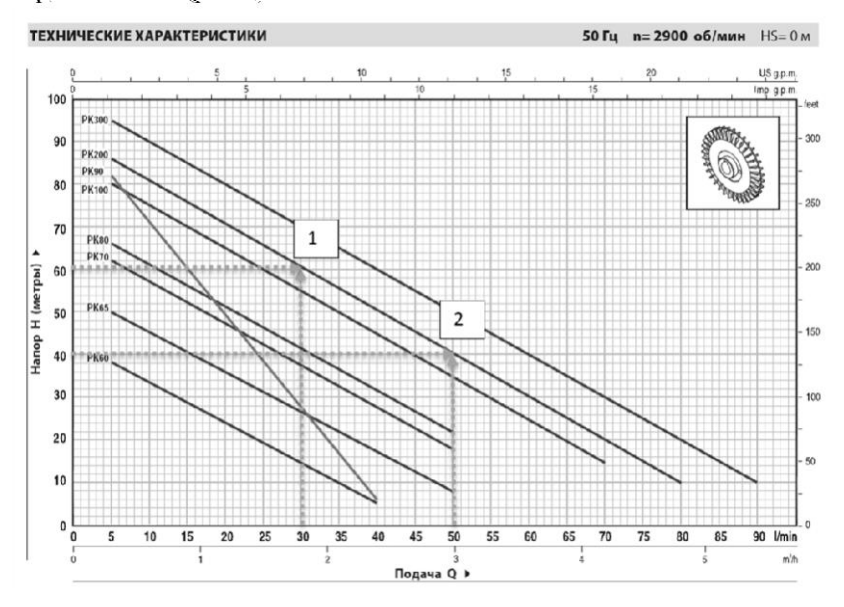


Рис. 2. Характеристики вихревого электронасоса Рк

Данным точкам 1 и 2 соответствуют расходы $Q_1 u Q_2$ (M^3 /c) и напоры $H_1 u H_2$ (м), по которым возможно определение фиктивных гидравлических сопротивлений насоса и его напора при нулевой подаче:

$$S_{\phi} = \frac{H_1 - H_2}{Q_2^2 - Q_1^2}.$$
 (3)

При этом значения фиктивного напора зависят от конструктивных параметров насоса и могут быть представлены выражением:

$$H_{\phi} = H_1 + S_{\phi} Q_1^2 \,. \tag{4}$$

Согласно технической характеристике (см. рис. 2) и полученным экспериментальным данным при работе вихревого электронасоса построим математическую модель рабочих Q-H характеристик для данного типа насоса. Применим метод наименьших квадратов для аппроксимации экспериментальных данных [6, 7]. Используем функции slope и intercept для определения коэффициентов линейной регрессии (аппроксимация данных прямой линией). Функция slope определяет угловой коэффициент прямой, а функция intercept – точку пересечения графика с вертикальной осью [2, 5, 8].

A: = intercept
$$(x1,y1)$$
 B: = slope $(x1,y1)$.

Определяем аппроксимирующую функцию: fl (z) : = $A + B \cdot z$. Коэффициенты линейной регрессии —

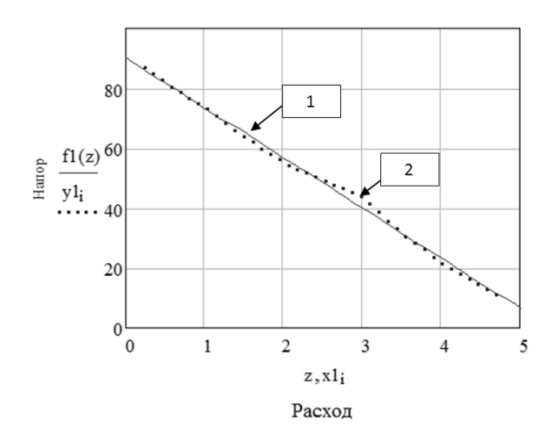
line(x1,y1) =
$$\begin{pmatrix} 90.465 \\ -16.732 \end{pmatrix}$$
.

Вычислим стандартное отклонение

$$s1 := \sqrt{\left[\frac{1}{n-2} \cdot \left[\sum_{i} \left(fl\left(xl_{i}\right) - yl_{i}\right)^{2}\right]\right]} = 1.858$$

На рис. 3 представлена математическая модель рабочих Q-H характеристик вихревого электронасоса Pk 200, где 1 – аппроксимируемая характеристика, 2 — характеристика, построенная по экспериментальным данным.

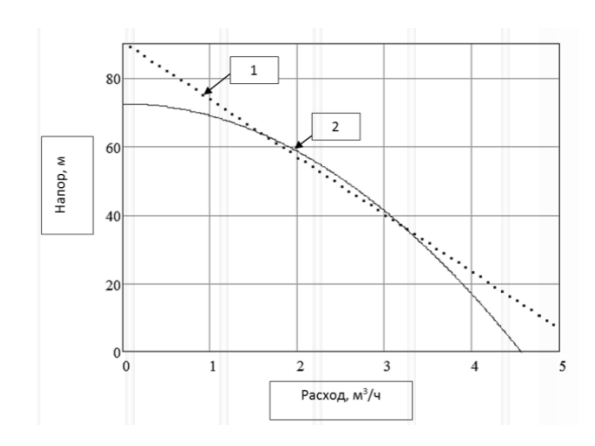
Рис. 3. Математическая модель рабочих *Q-H* характеристик вихревого электронасоса Pk 200



Полученная модель адекватна, так как значения, выведенные по математической модели, не отличаются более, чем на 5 % от экспериментальных.

На рис. 4 представлена математическая модель квадратичной характеристики H = f(Q) в оптимальных рабочих пределах (1), а также математическая модель рабочих Q-H характеристик для вихревого электронасоса Pk 200.

Рис. 4. Математическая модель квадратичной характеристики H = f(Q) в оптимальных рабочих пределах (2), а также математическая модель рабочих Q-H характеристик для вихревого электронасоса Pk 200 (1)



Согласно полученным данным можно сделать вывод о том, что представленная формула (2) справедлива для вихревого электронасоса Pk 200 и может быть применена в определенном диапазоне значений — расход от Q_1 (1,5) до Q_2 (3,5) и напор – от H_1 (67) до H_2 (30).

Таким образом, построена математическая модель квадратичной характеристики H = f(Q) в соответствии с общим выражением для рабочего участка; построена математическая модель рабочих Q-H характеристик для вихревого электронасоса Pk 200 в соответствии с полученными экспериментальными данными;

Для исследования и поиска оптимальных режимов вихревого электронасоса Pk 200 модель квадратичной характеристики H = f(Q) в соответствии с общим выражением для рабочего участка может быть применена в определенном диапазоне значений рас-

ход (от Q_1 (1,5) до Q_2 (3,5)) и напор (от H_1 (67) до H_2 (30)) либо определена путем экспериментальных замеров и аппроксимации функции в соответствии с полученными данными.

Списоклитературы

- 1. Emekeev A. A., Sagdatullin A. M., Muravyeva E. A. Representation of process parameters pump stations by term set with a rectangular shape of the membership function // Proceedings of the 16th International Worcshop on Computer Science and Information Technologies (CSIT'2014, Sheffield, England, September 16-22, 2014). 2014. Vol. 1. Pp. 138-141.
- Сагдатуллин А. М. Анализ фонда добывающих скважин и степени разработанности нефтегазовых месторождений // Известия высших учебных заведений. Нефть и газ. − 2014. – № 5 (107). – С. 46-50.
- 3. Сагдатуллин А. М., Емекеев А. А., Муравьева Е. А. Интеллектуальное логическое управление электроприводом насосной станции // Современные технологии в нефтегазовом деле. Сборник трудов международной научнотехнической конференции: в 2 т. Т. 2. Уфа: Аркаим, 2014. С. 218–221.
- 4. Artur Sagdatullin. Multidimensional Fuzzy Control System Development of Oil Transportation and Treatment Technological Processes Based on the Input/Output Parameters Model in the Precise Terms Set Form // Applied Mechanics and Materials. Vol. 756 (2015). Pp. 626-632. doi:10.4028/www.scientific.net/AMM.756.626.
- Сагдатуллин А. М. Анализ и синтез структуры системы управления электроприводом насоса процесса подготовки нефти // Известия высших учебных заведений. Нефть и газ. 2014. № 6 (108). С. 106-112.
- 6. Лезнов Б. С. Частотно-регулируемый электропривод насосных установок. М.: Машиностроение, 2013. $176\,\mathrm{c}$.
- Artur Sagdatullin, Alexander Emekeev, Elena Muravyova. Intellectual Control of Oil and Gas trans-portation system by Multidimensional Fuzzy Controllers with Precise Terms // Applied Mechanics and Materials. Vol. 756 (2015). pp. 633-639. doi:10.4028/www.scientific.net/AMM.756.633.
- Kayashev, Alexander; Muravyova, Elena; Sharipov, Marsel; Emekeev, Alexander; Sagdatullin, Artur, «Verbally defined processes controlled by fuzzy controllers with input/output parameters represented by set of precise terms» Mechanical Engineering, Automation and Control Systems (MEACS), 2014 International Conference on , Vol., no., pp.1,5, 16-18 Oct. 2014 doi: 10.1109/MFACS.2014.6986847

Сведения об авторе

Сагдатуллин Артур Маратович, аспирант кафедры «Автоматизация и информационные технологии», Альметьевский государственный нефтяной институт, г. Альметьевск, e-mail: saturn-s5@mail.ru

Information about the author

Sagdatullin A. M., postgraduate of the chair «Automation and information technologies», Almetiev State Petroleum Institute, Almetievsk. e-mail: saturn-s5@mail.ru